



Raport

z badań poziomu natężenia pola elektrycznego
w otoczeniu stacji bazowej:

SWI3082

na podstawie sprawozdania P4/282/2021 udostępnionego przez A-CONNECT Anna Garwol-Porosa

Laboratorium prowadzące badania

A-CONNECT Anna Garwol-Porosa
Strażacka 3/2
58-370 Boguszów-Gorce
692 692 875

Zleceniodawca badań

P4 Sp. z o.o.

02-677 Warszawa
790 500 500
kontakt@play.pl

Nr akredytacji: AB 1284

Data wydania sprawozdania: 10.11.2021

Raport zawiera wybrane elementy sprawozdania i służy wyłącznie obrazowemu przedstawieniu informacji o danej instalacji. Raport nie może być wykorzystywany w postępowaniach administracyjnych.

Informacje ogólne

Zgodność z metodyką RMK: Tak

Ograniczenia: Na podstawie art. 122a ust. 1b ustawy Prawo ochrony środowiska (t.j. Dz.U. z 2020 r., poz. 1219, 1378, 1565, 2127, 2338, z 2021 r. poz. 802, 868, 1047, 1162, 1535.), pomiary PEM w lokalach mieszkalnych i użytkowych zlokalizowanych w obszarze pomiarowym badanej stacji bazowej nie zostały przeprowadzone.

Wykorzystanie w obszarze regulowanym: Tak

Przedmiot badań

Identyfikator stacji w UKE	SWI3082
Operator	P4 Sp. z o.o.
Współrzędne	16,4953360; 50,9473080
Rodzaj pracy	ciągła
Rodzaj wytwarzanego pola	stacjonarne

Miejsce badań

Otoczenie stacji bazowej SWI3082 w lokalizacji Żarów, dz. nr 375/73.

Cel badań

1. Zweryfikowanie zgodności z wymaganiami rozporządzenia Ministra Zdrowia z dnia 19 grudnia 2019 r.

Opis stacji bazowych

Tabela 1: Opis anten badanych stacji bazowych

Lp.	Identyfikator stacji w UKE	Typ Producent anteny	Azymut	H	EIRP	Pasma	Tilt	Tilt w trakcie pomiarów
			[°]	[m]	[W]	[MHz]	[°]	[°]
1	SWI3082	ADU4521R0v06 Huawei	0	59,20	19594	LTE 2600	0,0 - 6,0	3,0
					19594	LTE 2600	0,0 - 6,0	3,0
2		ADU4518R11 Huawei	0	59,00	12490	LTE 800	0,0 - 11,5	3,0
					12490	LTE 1800	2,0 - 11,5	3,0
					12490	LTE 2100	2,0 - 11,5	3,0
3		ADU4518R11 Huawei	0	59,00	12608	UMTS 900	0,0 - 11,5	3,0
					12608	LTE 2100	2,0 - 11,5	3,0
					12608	LTE 1800	2,0 - 11,5	3,0
4		ADU4521R0v06 Huawei	120	59,20	19594	LTE 2600	0,0 - 6,0	3,0
	19594				LTE 2600	0,0 - 6,0	3,0	
5	ADU4518R11 Huawei	120	59,00	12490	LTE 800	0,0 - 7,2	3,0	
				12490	LTE 1800	2,0 - 7,2	3,0	
				12490	LTE 2100	2,0 - 7,2	3,0	
6	ADU4518R11 Huawei	120	59,00	12608	UMTS 900	0,0 - 7,2	3,0	
				12608	LTE 2100	2,0 - 7,2	3,0	
				12608	LTE 1800	2,0 - 7,2	3,0	
7	ADU4521R0v06 Huawei	240	59,20	19594	LTE 2600	0,0 - 6,0	3,0	
				19594	LTE 2600	0,0 - 6,0	3,0	
8	ADU4518R11 Huawei	240	59,00	12490	LTE 800	0,0 - 10,0	3,0	
				12490	LTE 1800	2,0 - 10,0	3,0	
				12490	LTE 2100	2,0 - 10,0	3,0	
9	ADU4518R11 Huawei	240	59,00	12608	UMTS 900	0,0 - 10,0	3,0	
				12608	LTE 2100	2,0 - 10,0	3,0	
				12608	LTE 1800	2,0 - 10,0	3,0	

Warunki pomiarów

Pomiary w wyznaczonych punktach wykonano w następujących warunkach:

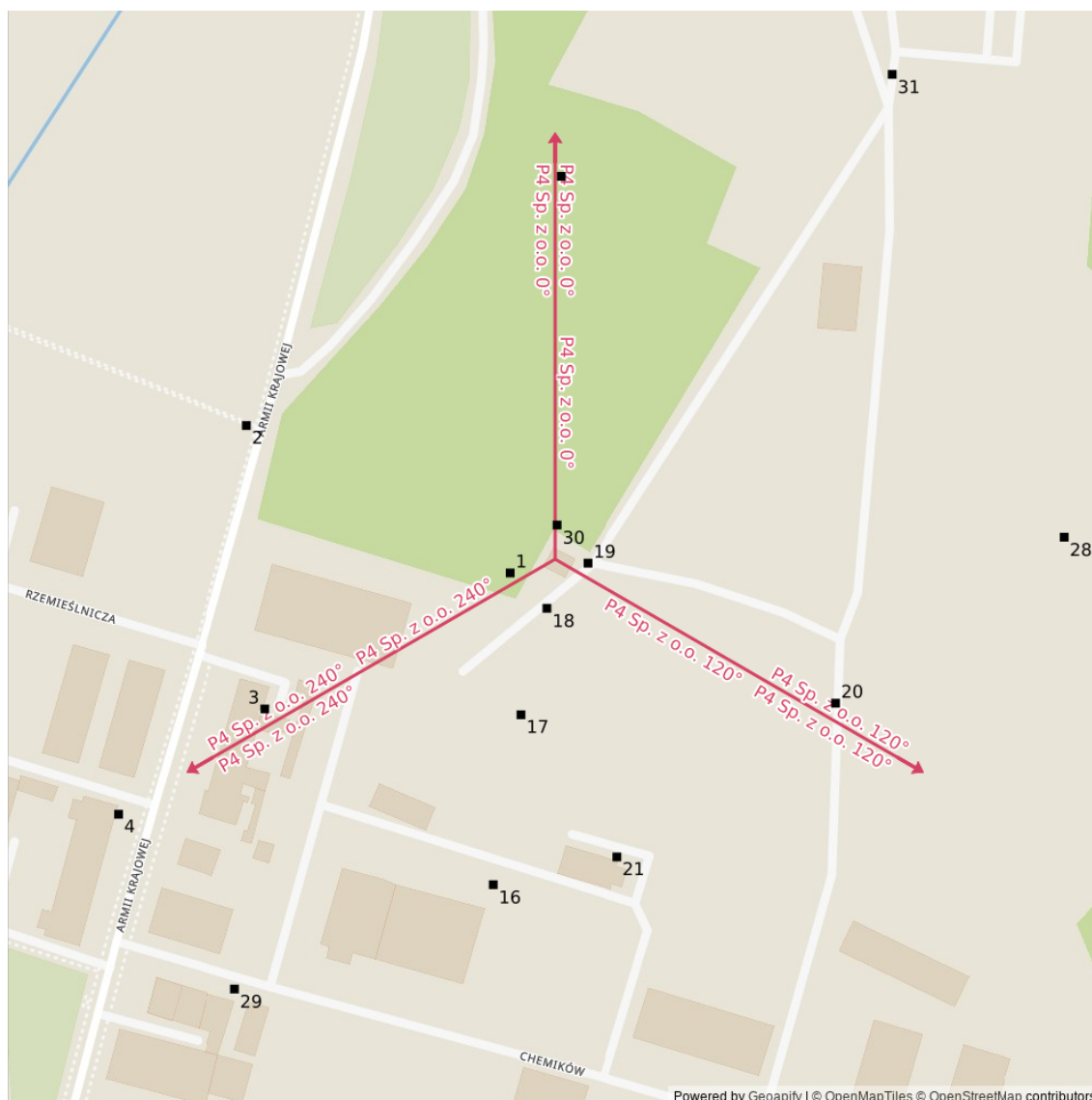
03.11.2021 11:00-12:45			
Warunki środowiskowe	Temperatura [°C]	Wilgotność [%]	Opady
Minimalna	10,4	62,1	brak
Maksymalna	11,5	63,7	

Aparatura

Tabela 2: Aparatura

MIERNIKI I SONDY					
Lp.	Typ / Nazwa	Model	Producent	Próg detekcji	Świadectwo wzorcowania
1a	miernik	NBM-520	Narda		LWiMP/W/068/20 z dn. 02.03.2020 wydane przez LWiMP Politechniki Wrocławskiej
1b	sonda	EF6091	Narda	0,60	
POZOSTAŁE					
Lp.	Typ / Nazwa	Model	Producent	Świadectwo wzorcowania	
2	termohigrometr	P330	DOSTMANN	47102/2016 z dn. 28.11.2016 wydane przez LAB-EL ELEKTRONIKA LABORATORYJNA ANDRZEJ ŁOBZOWSKI, MARIA ŁOBZOWSKA SP. J.	

Lokalizacje pionów pomiarowych



Rysunek 1: Plan terenu

Dodatkowe informacje o punktach

punkt 15: Okno korytarza - I/II p., ul. Cicha 2

Wyniki pomiarów szerokopasmowych

Tabela 3: Zestawienie lokalizacji pionów pomiarowych oraz wyników pomiarów natężenia pola elektrycznego, pomiary szerokopasmowe

Nazwa	Data	Współrzędne geograficzne	E	WM _E	H	WM _H
		[°]	[$\frac{V}{m}$]		[$\frac{A}{m}$]	
1	03.11.2021	16,4951020 50,9472630	2,13	0,076	0,006	0,077

ciąg dalszy na następnej stronie

Tabela 3: Zestawienie lokalizacji pionów pomiarowych oraz wyników pomiarów natężenia pola elektrycznego, pomiary szerokopasmowe (c.d.)

Nazwa	Data	Współrzędne geograficzne	E	WM _E	H	WM _H
		[°]	[$\frac{V}{m}$]		[$\frac{A}{m}$]	
2	03.11.2021	16,4937290 50,9477460	1,90	0,068	0,005	0,069
3	03.11.2021	16,4938250 50,9468170	1,90	0,068	0,005	0,069
4	03.11.2021	16,4930640 50,9464720	2,37	0,085	0,006	0,086
5	03.11.2021	16,4924090 50,9462630	< 1,42	< 0,051	< 0,004	< 0,052
6	03.11.2021	16,4912240 50,9465230	< 1,42	< 0,051	< 0,004	< 0,052
7	03.11.2021	16,4924060 50,9453820	2,61	0,093	0,007	0,095
8	03.11.2021	16,4909310 50,9457440	< 1,42	< 0,051	< 0,004	< 0,052
9	03.11.2021	16,4898960 50,9454460	< 1,42	< 0,051	< 0,004	< 0,052
10	03.11.2021	16,4904540 50,9445470	< 1,42	< 0,051	< 0,004	< 0,052
11	03.11.2021	16,4880400 50,9446420	< 1,42	< 0,051	< 0,004	< 0,052
12	03.11.2021	16,4874820 50,9455820	1,42	0,051	0,004	0,052
13	03.11.2021	16,4887430 50,9464060	< 1,42	< 0,051	< 0,004	< 0,052
14	03.11.2021	16,4913180 50,9431280	< 1,42	< 0,051	< 0,004	< 0,052
15	03.11.2021	–	2,61	0,093	0,007	0,095
16	03.11.2021	16,4950140 50,9462410	2,37	0,085	0,006	0,086
17	03.11.2021	16,4951580 50,9467980	2,13	0,076	0,006	0,077
18	03.11.2021	16,4952930 50,9471470	2,61	0,093	0,007	0,095
19	03.11.2021	16,4955070 50,9472950	2,37	0,085	0,006	0,086
20	03.11.2021	16,4967950 50,9468360	2,85	0,102	0,008	0,104
21	03.11.2021	16,4956570 50,9463320	1,66	0,059	0,004	0,060
22	03.11.2021	16,4968700 50,9454230	2,37	0,085	0,006	0,086
23	03.11.2021	16,4982110 50,9462880	2,61	0,093	0,007	0,095

Ciąg dalszy na następnej stronie

Tabela 3: Zestawienie lokalizacji pionów pomiarowych oraz wyników pomiarów natężenia pola elektrycznego, pomiary szerokopasmowe (c.d.)

Nazwa	Data	Współrzędne geograficzne	E	WM _E	H	WM _H
		[°]	[$\frac{V}{m}$]		[$\frac{A}{m}$]	
24	03.11.2021	16,4998310 50,9457300	2,85	0,102	0,008	0,104
25	03.11.2021	16,5014830 50,9450950	2,37	0,085	0,006	0,086
26	03.11.2021	16,5031250 50,9450750	1,90	0,068	0,005	0,069
27	03.11.2021	16,5021480 50,9467650	1,42	0,051	0,004	0,052
28	03.11.2021	16,4979850 50,9473800	3,08	0,110	0,008	0,112
29	03.11.2021	16,4936670 50,9458990	2,37	0,085	0,006	0,086
30	03.11.2021	16,4953460 50,9474200	2,61	0,093	0,007	0,095
31	03.11.2021	16,4970900 50,9488970	2,37	0,085	0,006	0,086
32	03.11.2021	16,4953680 50,9485630	2,37	0,085	0,006	0,086
33	03.11.2021	16,4953570 50,9498470	1,90	0,068	0,005	0,069
34	03.11.2021	16,4954000 50,9518610	1,90	0,068	0,005	0,069
35	03.11.2021	16,4954210 50,9527130	1,42	0,051	0,004	0,052
36	03.11.2021	16,4985110 50,9521860	1,66	0,059	0,004	0,060
37	03.11.2021	16,4999490 50,9507660	1,66	0,059	0,004	0,060
38	03.11.2021	16,4934150 50,9521250	1,90	0,068	0,005	0,069
39	03.11.2021	16,4939940 50,9507590	2,13	0,076	0,006	0,077
40	03.11.2021	16,4944130 50,9491240	2,37	0,085	0,006	0,086

Podsumowanie

Na podstawie wyników pomiarów pola elektromagnetycznego przedstawionych w niniejszym raporcie o nr P4/282/2021 opracowanym przez A-CONNECT Anna Garwol-Porosa stwierdza się, że w otoczeniu stacji bazowej SWI3082 dopuszczalne poziomy pól elektromagnetycznych w środowisku, określone w przepisach wydanych na podstawie art. 122 ust. 1 ustawy z dnia 27 kwietnia 2001 r. – Prawo ochrony środowiska uznaje się za **dotrzymane**. Udokumentowano, że

w żadnym pionie pomiarowym wartości wskaźnikowe WM_E oraz WM_H nie przekroczyły 1.

Osoby odpowiedzialne

Wykonanie pomiarów: b.d.

Opracowanie sprawozdania: b.d.

Autoryzacja sprawozdania: Łukasz Porosa (Kierownik ds. jakości)